

Robinet à soupape

## BOA-Compact

PN 6/16  
DN 15-200  
À étanchéité souple  
À brides

### Courbes de débit



## **Copyright / Mentions légales**

Courbes de débit BOA-Compact

Tous droits réservés. Les contenus de ce document ne doivent pas être divulgués, reproduits, modifiés ou communiqués à des tiers sauf autorisation écrite du constructeur.

Ce document pourra faire l'objet de modifications sans préavis.

## Robinetts d'arrêt à soupape

Robinetts d'arrêt à soupape à étanchéité souple  
suivant DIN / EN

### BOA-Compact



#### Courbes de débit

Les courbes caractéristiques sont valables pour de l'eau d'une température de 5 à 30 °C. La vitesse d'écoulement ( $v$ ) rapportée à la section du diamètre nominal ne doit pas dépasser 4 m/s. Dû au comportement de fermeture élastique des robinets d'arrêt à soupape à étanchéité souple, il est recommandé de régler les tours de la tige à partir de la position d'ouverture.

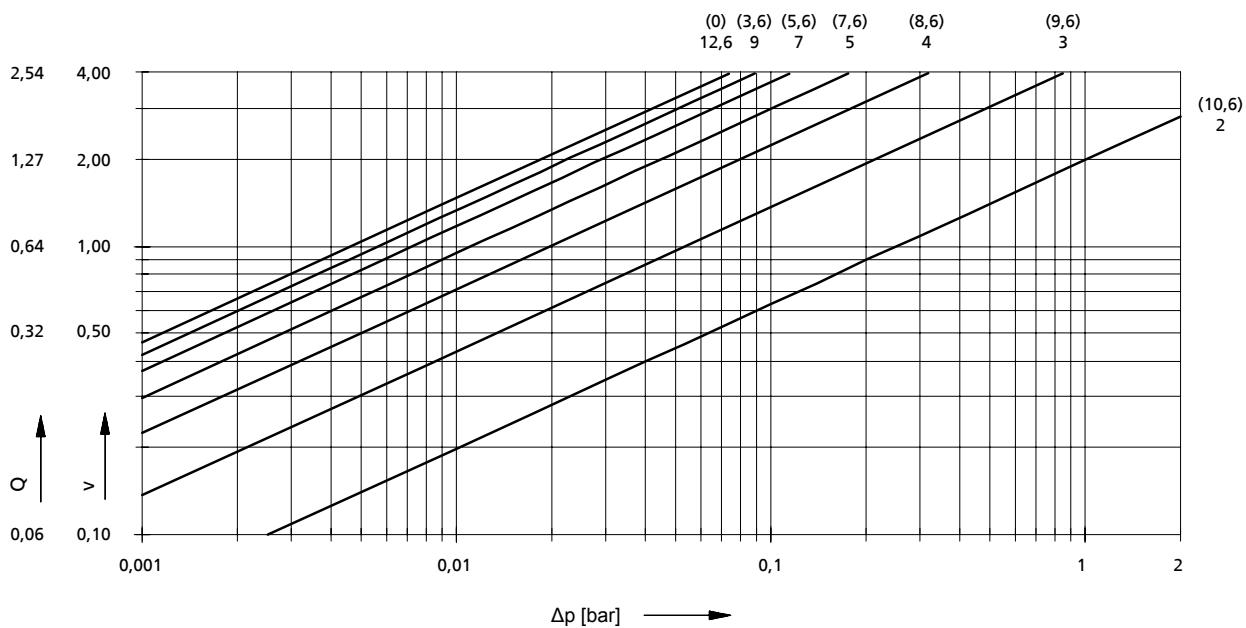
Explication des unités

Unité	Explication
Q	Débit-volume en m <sup>3</sup> /h
V	Vitesse d'écoulement m/s

**DN 15, PN 6/16**

Tableau de sélection

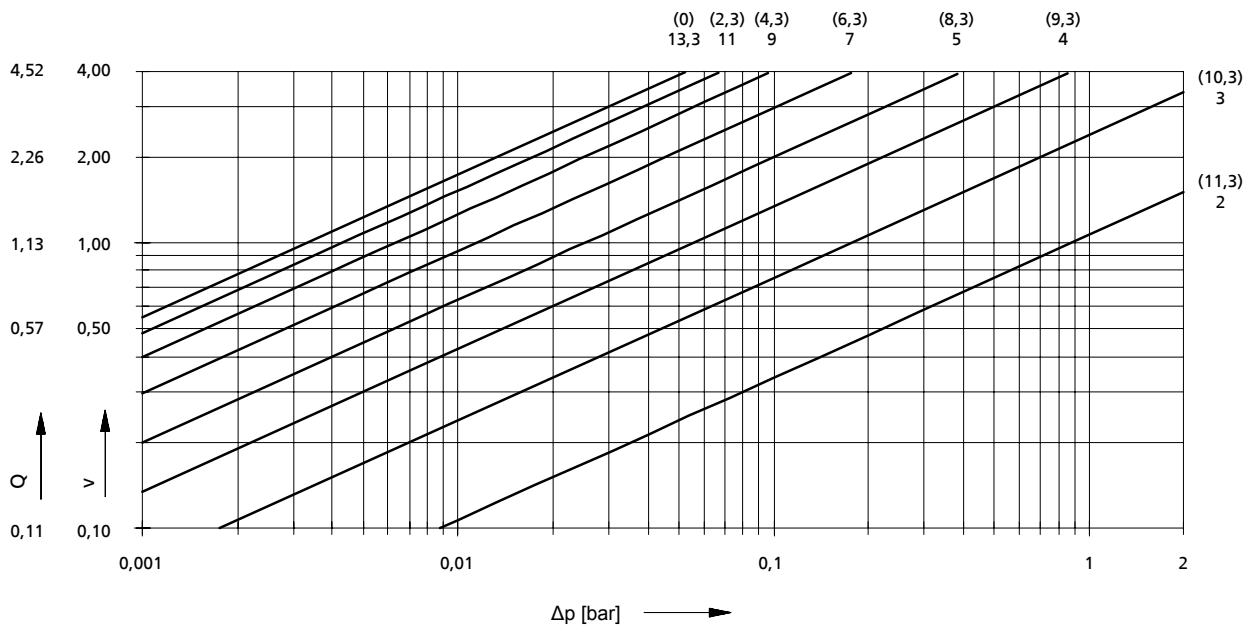
Kv [m <sup>3</sup> /h]	Coefficient de perte de charge [ζ]	Tours de la tige n1 à partir de la position de fermeture	Tours de la tige n2 à partir de la position d'ouverture
9,3	0,9	12,6	(0)
8,4	1,1	9	(3,6)
7,5	1,4	7	(5,6)
6,0	2,2	5	(7,6)
4,5	3,9	4	(8,6)
2,7	10,5	3	(9,6)
1,3	49,3	2	(10,6)



DN 20, PN 6/16

Tableau de sélection

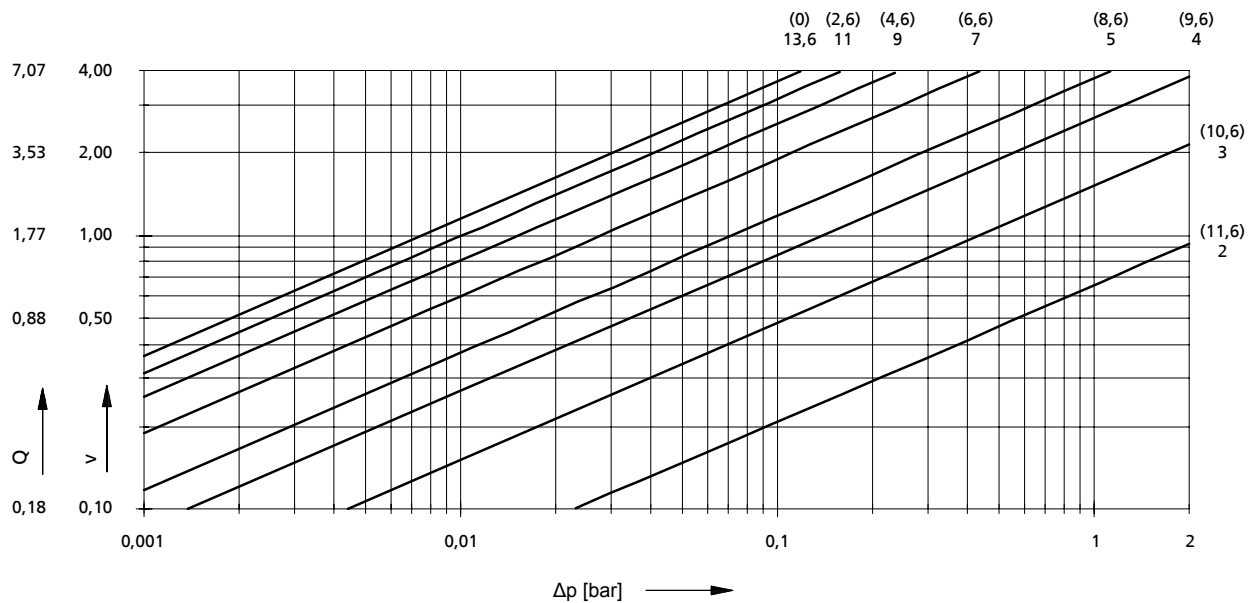
Kv [m <sup>3</sup> /h]	Coefficient de perte de charge [ζ]	Tours de la tige n1 à partir de la position de fermeture	Tours de la tige n2 à partir de la position d'ouverture
19,6	0,7	13,3	(0)
17,2	0,8	11	(2,3)
14,3	1,2	9	(4,3)
10,6	2,2	7	(6,3)
7,1	4,9	5	(8,3)
4,8	11,3	4	(9,3)
2,7	34,4	3	(10,3)
1,2	174	2	(11,3)



**DN 25, PN 6/16**

Tableau de sélection

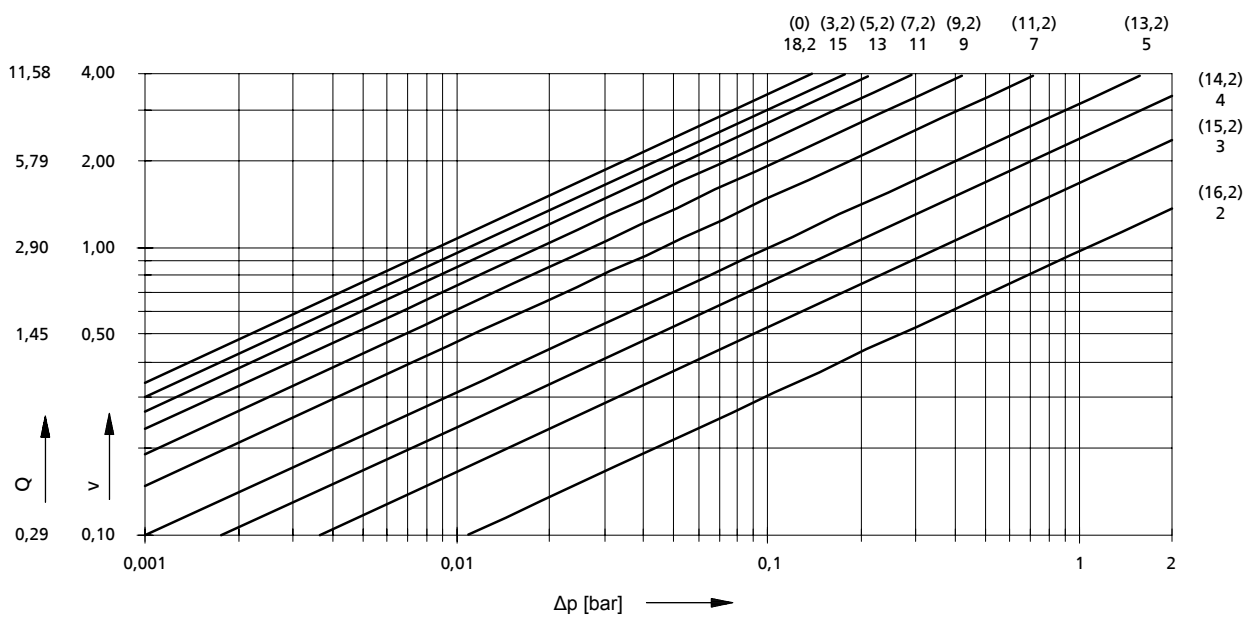
Kv [m <sup>3</sup> /h]	Coefficient de perte de charge [ζ]	Tours de la tige n1 à partir de la position de fermeture	Tours de la tige n2 à partir de la position d'ouverture
20,3	1,5	13,6	(0)
17,6	2,0	11	(2,6)
14,3	3,0	9	(4,6)
10,6	5,4	7	(6,6)
6,6	14,1	5	(8,6)
4,8	27,0	4	(9,6)
2,7	86,5	3	(10,6)
1,2	451	2	(11,6)



DN 32, PN 6/16

Tableau de sélection

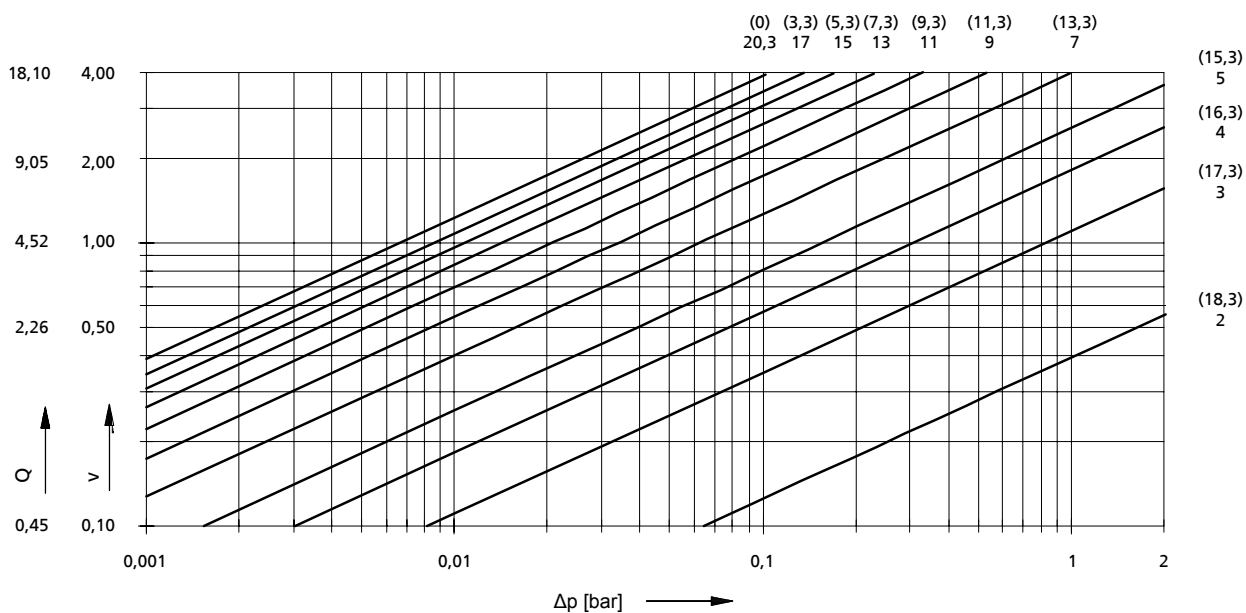
Kv [m <sup>3</sup> /h]	Coefficient de perte de charge [ζ]	Tours de la tige n1 à partir de la position de fermeture	Tours de la tige n2 à partir de la position d'ouverture
31,1	1,7	18,2	(0)
27,6	2,2	15	(3,2)
24,7	2,7	13	(5,2)
21,3	3,6	11	(7,2)
17,5	5,4	9	(9,2)
13,5	9,0	7	(11,2)
9,1	19,8	5	(13,2)
6,9	34,6	4	(14,2)
4,8	71,3	3	(15,2)
2,8	210	2	(16,2)



**DN 40, PN 6/16**

Tableau de sélection

Kv [m <sup>3</sup> /h]	Coefficient de perte de charge [ζ]	Tours de la tige n1 à partir de la position de fermeture	Tours de la tige n2 à partir de la position d'ouverture
55,7	1,3	20,3	(0)
48,9	1,7	17	(3,3)
43,6	2,1	15	(5,3)
37,7	2,8	13	(7,3)
31,5	4,1	11	(9,3)
24,7	6,6	9	(11,3)
18,1	12,2	7	(13,3)
11,6	30,0	5	(15,3)
8,2	59,9	4	(16,3)
5,0	161	3	(17,3)
1,8	1252	2	(18,3)

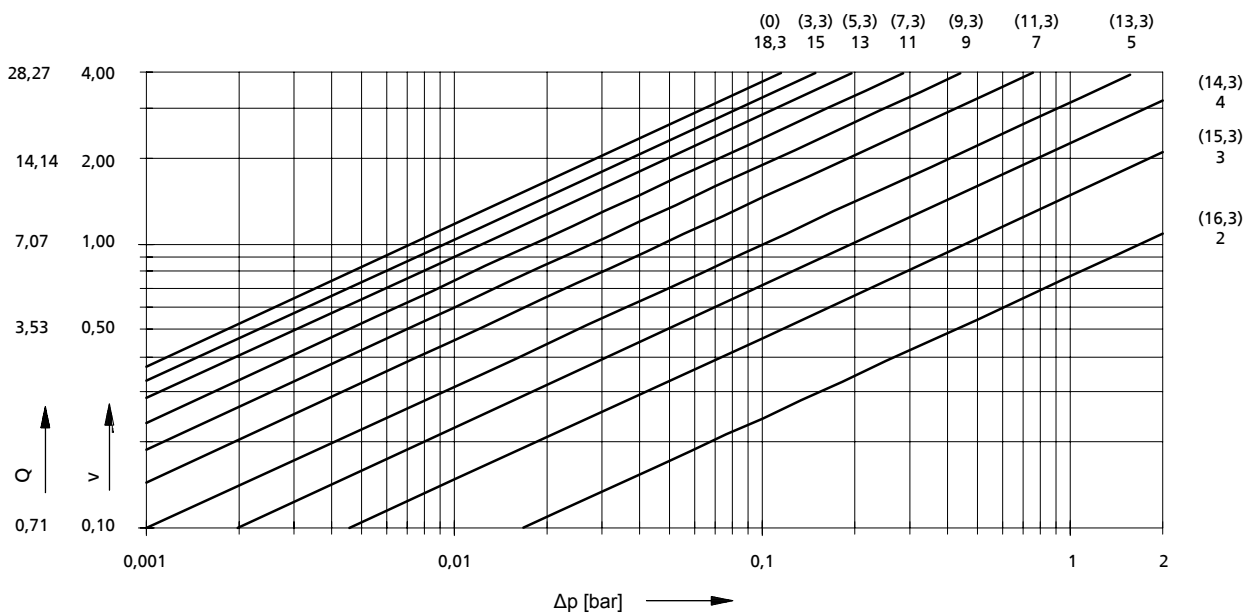




DN 50, PN 6/16

Tableau de sélection

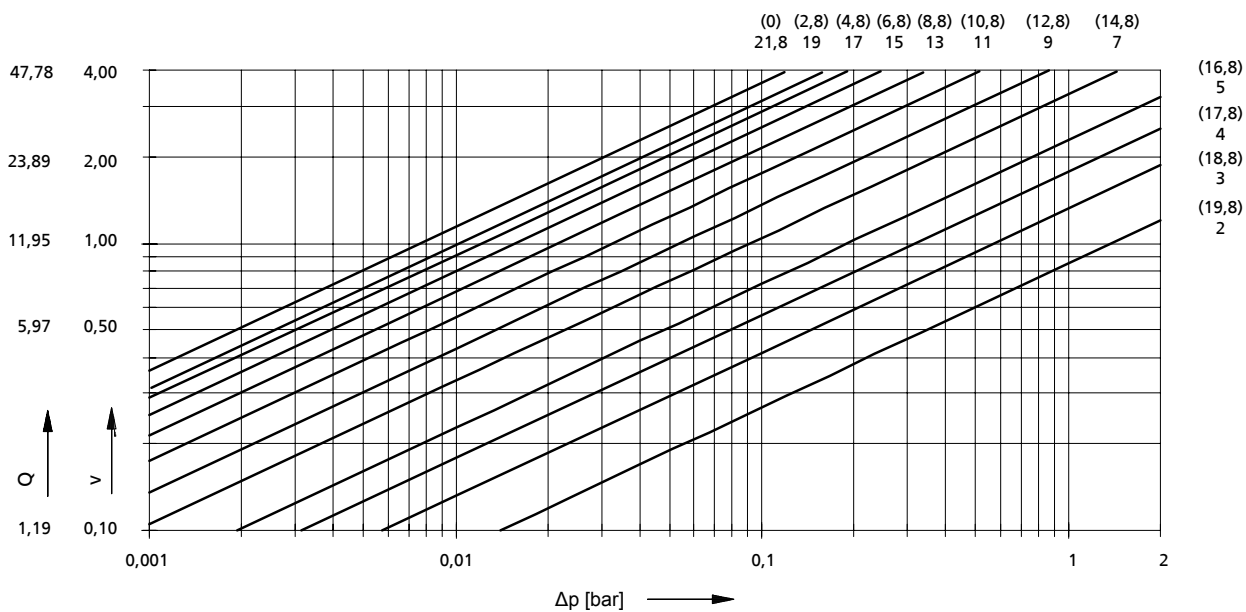
Kv [m <sup>3</sup> /h]	Coefficient de perte de charge [ζ]	Tours de la tige n1 à partir de la position de fermeture	Tours de la tige n2 à partir de la position d'ouverture
82,9	1,5	18,3	(0)
73,1	1,8	15	(3,3)
63,8	2,4	13	(5,3)
52,6	3,5	11	(7,3)
42,3	5,5	9	(9,3)
32,3	9,4	7	(11,3)
22,2	19,8	5	(13,3)
15,9	38,9	4	(14,3)
10,4	90,0	3	(15,3)
5,5	329	2	(16,3)



**DN 65, PN 6/16**

Tableau de sélection

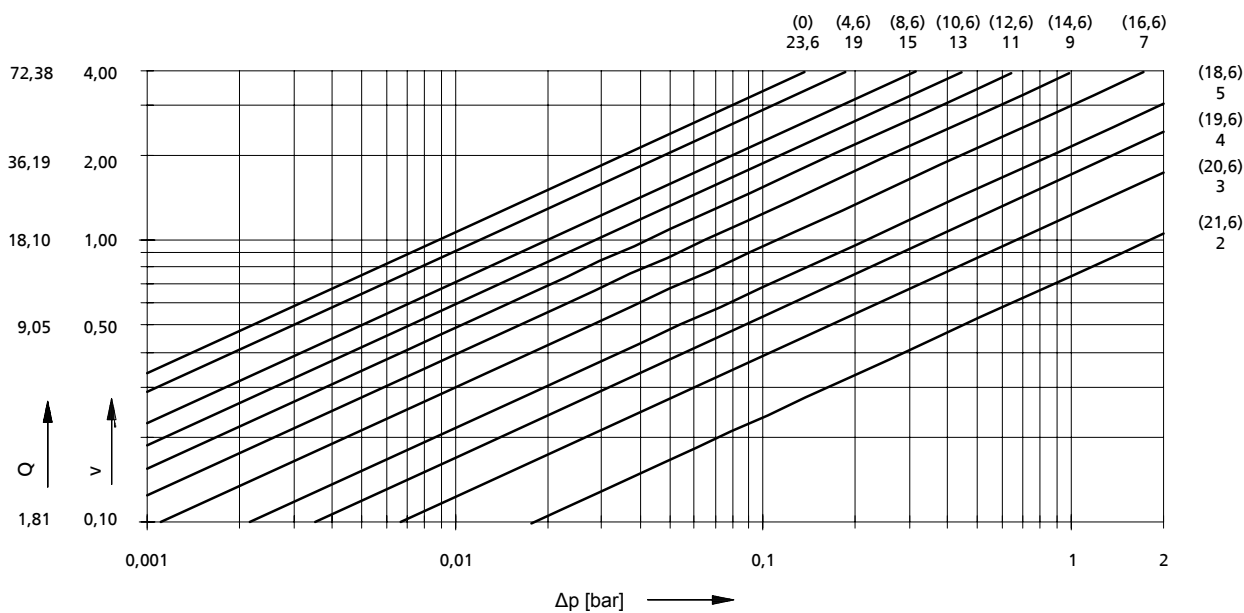
Kv [m <sup>3</sup> /h]	Coefficient de perte de charge [ζ]	Tours de la tige n1 à partir de la position de fermeture	Tours de la tige n2 à partir de la position d'ouverture
137	1,5	21,8	(0)
122	1,9	19	(2,8)
109	2,4	17	(4,8)
95,8	3,1	15	(6,8)
81,0	4,3	13	(8,8)
66,0	6,4	11	(10,8)
51,3	10,6	9	(12,8)
39,6	17,8	7	(14,8)
27,3	37,5	5	(16,8)
21,3	61,8	4	(17,8)
15,7	113	3	(18,8)
10,2	271	2	(19,8)



**DN 80, PN 6/16**

Tableau de sélection

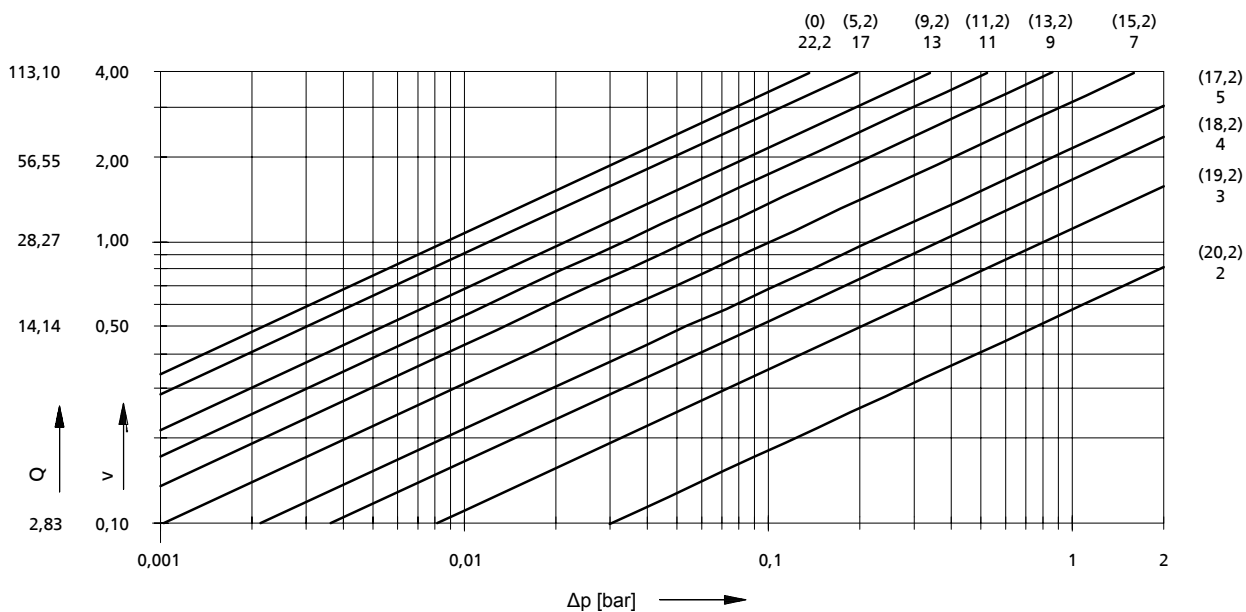
Kv [m <sup>3</sup> /h]	Coefficient de perte de charge [ζ]	Tours de la tige n1 à partir de la position de fermeture	Tours de la tige n2 à partir de la position d'ouverture
192	1,8	23,6	(0)
165	2,4	19	(4,6)
128	3,9	15	(8,6)
107	5,6	13	(10,6)
88,6	8,2	11	(12,6)
71,2	12,7	9	(14,6)
54,2	21,8	7	(16,6)
39,1	42,0	5	(18,6)
30,7	68,0	4	(19,6)
22,1	132	3	(20,6)
13,4	357	2	(21,6)



DN 100, PN 6/16

Tableau de sélection

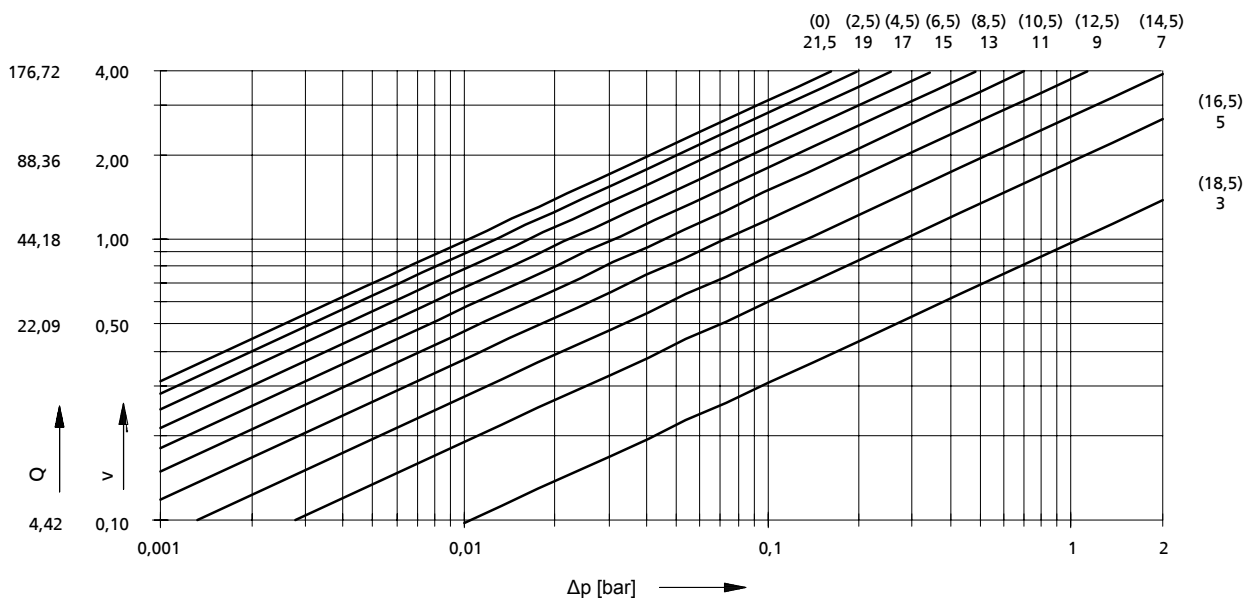
Kv [m <sup>3</sup> /h]	Coefficient de perte de charge [ζ]	Tours de la tige n1 à partir de la position de fermeture	Tours de la tige n2 à partir de la position d'ouverture
304	1,7	22,2	(0)
256	2,4	17	(5,2)
192	4,3	13	(9,2)
155	6,5	11	(11,2)
122	10,6	9	(13,2)
88,4	20,0	7	(15,2)
60,9	42,2	5	(17,2)
46,8	71,7	4	(18,2)
31,4	158	3	(19,2)
16,1	602	2	(20,2)



**DN 125, PN 6/16**

Tableau de sélection

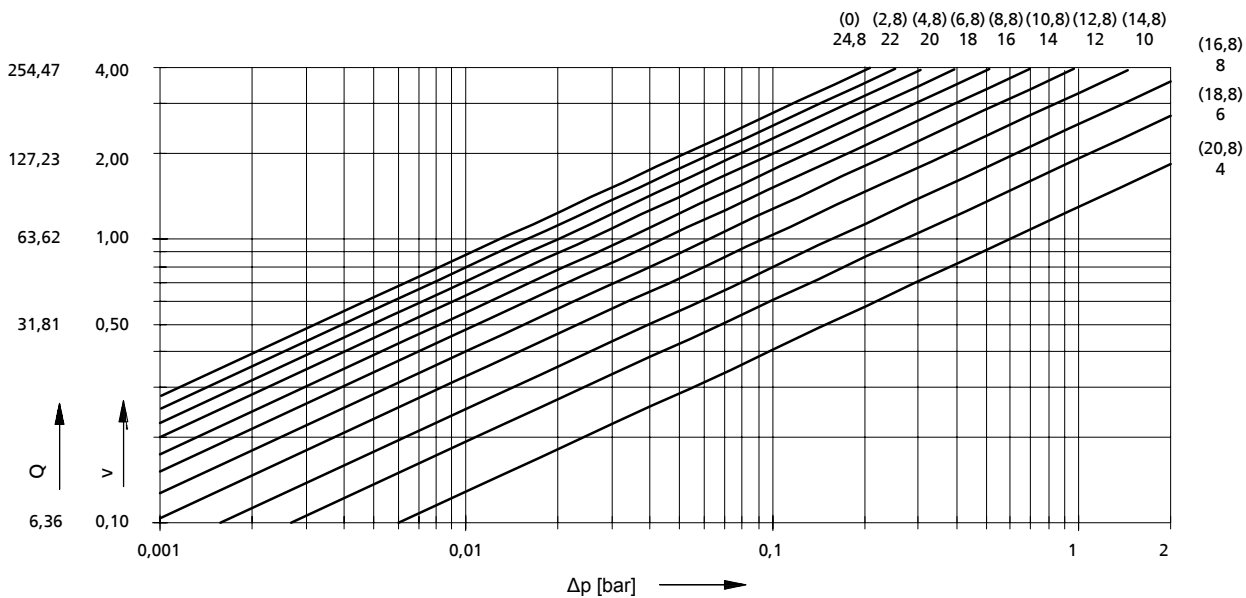
Kv [m <sup>3</sup> /h]	Coefficient de perte de charge [ζ]	Tours de la tige n1 à partir de la position de fermeture	Tours de la tige n2 à partir de la position d'ouverture
438	2,0	21,5	(0)
393	2,5	19	(2,5)
345	3,2	17	(4,5)
297	4,4	15	(6,5)
252	6,0	13	(8,5)
209	8,8	11	(10,5)
165	14,1	9	(12,5)
122	25,9	7	(14,5)
84,0	54,2	5	(16,5)
42,8	209	3	(18,5)



**DN 150, PN 6/16**

Tableau de sélection

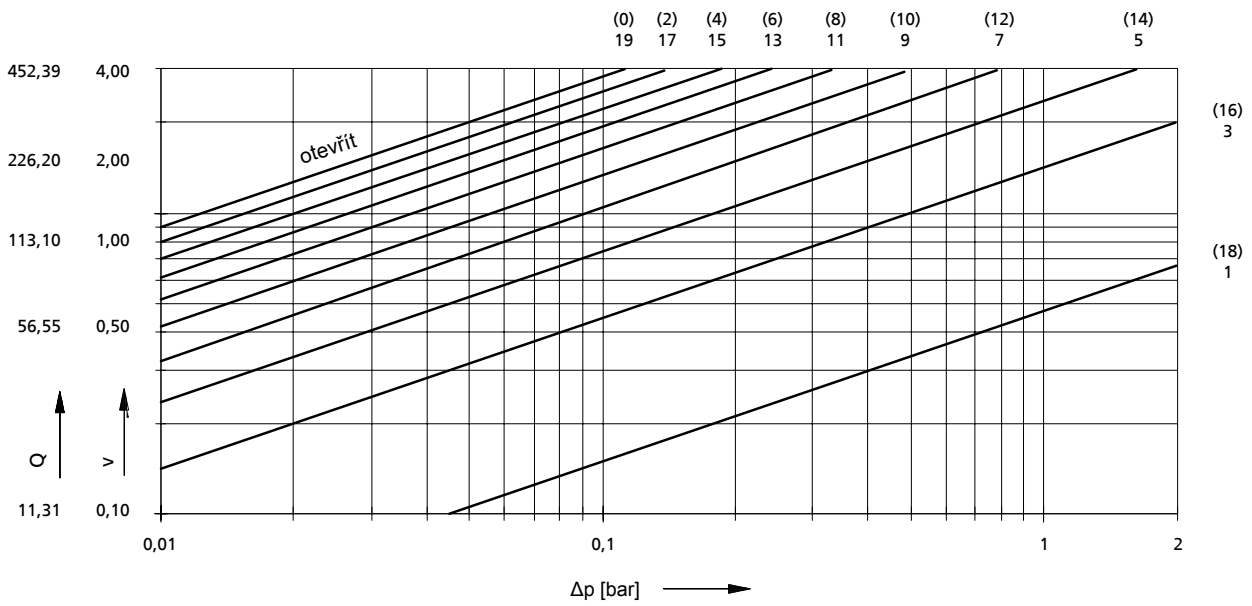
Kv [m <sup>3</sup> /h]	Coefficient de perte de charge [ζ]	Tours de la tige n1 à partir de la position de fermeture	Tours de la tige n2 à partir de la position d'ouverture
558	2,6	24,8	(0)
504	3,1	22	(2,8)
453	3,9	20	(4,8)
402	4,9	18	(6,8)
353	6,4	16	(8,8)
304	8,6	14	(10,8)
257	12,1	12	(12,8)
209	18,2	10	(14,8)
160,6	30,8	8	(16,8)
122,4	53	6	(18,8)
82,2	117	4	(20,8)



DN 200, PN 6/16

Tableau de sélection

Kv [m <sup>3</sup> /h]	Coefficient de perte de charge [ζ]	Tours de la tige n1 à partir de la position de fermeture	Tours de la tige n2 à partir de la position d'ouverture
1008	2,5	19	(0)
902	3,1	17	(2)
796	4,0	15	(4)
690	5	13	(6)
584	8	11	(8)
477	11	9	(10)
371,4	19	7	(12)
265,3	36	5	(14)
159,2	101	3	(16)
53,1	909	1	(18)





**KSB SE & Co. KGaA**  
Johann-Klein-Straße 9 • 67227 Frankenthal (Germany)  
Tel. +49 6233 86-0  
[www.ksb.com](http://www.ksb.com)